

疏水型 H-ZSM-5 分子筛上 NO 氧化反应的研究

李玉芳, 刘华彦, 黄海凤, 张泽凯, 陈银飞^{*}(浙江工业大学化学工程与材料学院, 绿色化学合成技术国家重点实验室培育基地, 浙江 杭州 310014)

摘要: 针对 NO 低温氧化催化剂的抗水汽性差的问题, 以疏水型高硅 H-ZSM-5 分子筛为 NO 氧化催化剂, 在温度为 10~90℃、NO 进口浓度为 0.05%~0.08%, 及相对湿度为 0~100% 条件下, 考察了 NO 的氧化反应。结果表明, H-ZSM-5 分子筛的硅铝比由 50 提高至 300 时, 湿气条件下(水汽含量 1.18%)下, NO 氧化率由 20% 升高至 56%; 干气下, 低温有利于 NO 氧化; 湿气下(水汽含量 1.18%), NO 氧化率随着温度的升高先增加后减少, 最佳反应温度为 20℃, 与 NO_x 工业废气的排放温度相近。200h 的稳定性试验结果显示, 在 30℃、NO 进口浓度 0.08%、空时 0.5s、保持相对湿度为 50% 或 100% 时, NO 氧化率可维持在 60% 和 50%, 催化剂具有良好的稳定性。

关键词: H-ZSM-5 分子筛; 疏水性; 低温; NO 氧化

中图分类号: X701.1,TQ 032.41 文献标识码: A 文章编号: 1000-6923(2009)05-0469-05

NO oxidation over hydrophobic H-ZSM-5 molecular sieves. LI Yu-fang, LIU Hua-yan, HUANG Hai-feng, ZHANG Ze-kai, CHEN Yin-fei^{*} (State Key Laboratory Breeding Base of Green Chemistry-Synthesis Technology, College of Chemical Engineering and Materials Science, Zhejiang University of Technology, Hangzhou 310014, China). *China Environmental Science*, 2009,29(5): 469~473

Abstract: Based on the principle that molecular sieve ZSM-5 can be highly hydrophobic by using a high Si/Al₂ ratio, a silica rich H-ZSM-5 was used as the NO oxidation catalyst and its catalytic activity under various reaction conditions was investigated: relative humidity from 0 to 100%, reaction temperature from 10 to 90℃, and inlet NO concentration from 0.05% to 0.08%. H-ZSM-5 catalyzed NO oxidation efficiently in the presence of vapor. When the Si/Al₂ ratio of H-ZSM-5 increased from 50 to 300, the steady-state NO oxidation conversion in wet NO_x gas (H₂O concentration was 1.18%) raised from 20% to 56%. The oxidation conversion in dry gas decreased monotonously as reaction temperature increased, and low temperature was favorable for NO oxidation. In wet gas (H₂O concentration was 1.18%) the optimal reaction temperature for NO oxidation was 20℃, which was close to the temperature of NO_x in exhaust gas. The NO conversion decreased when temperature was below or above. A 200h stability test was conducted at 30℃, with an inlet NO concentration of 0.08% and a space time of 0.5s. The NO oxidation conversion reached to 60% and 50%, when the relative humidity was 50% and 100%, respectively. ZSM-5 catalyst displayed high stability in saturated wet gas and it converted the waste gas into an optimum composition for alkali absorption of NO_x.

Key words: H-ZSM-5 molecular sieves; hydrophobic; low temperature; NO oxidation

硝酸制造、精细化工、制药等行业排放的 NO_x 工业废气氧气含量、水汽含量高, NO 占 NO_x 总量的 90% 以上^[1]。这类废气不同于燃煤烟气, 不适宜用选择性催化还原(SCR)法处理, 采用常温液体吸收法较为合理。但 NO 在碱液中的难溶性影响了常温液体吸收法去除 NO_x 的效率。有研究表明^[1~2], 获得 NO_x 高脱除率所需的适宜氧化度(即 NO₂ 占 NO_x 的比例)为 50%~60%, 因此必须将 NO 部分氧化成易被碱液吸收的 NO₂^[3]。利用工业

NO_x 废气中自身的 O₂ 氧化 NO 是较经济的方法。但 NO 在浓度低于 0.1% 时较为稳定, 很难与 O₂ 反应^[4], 需借助催化剂的作用。对于 NO 气相氧化催化剂的研究主要有 2 类: 金属氧化物或贵金属催化剂^[5~9]; 活性炭(AC)或活性炭纤维(ACF)^[10~12]。前者通常需在 300~400℃ 才能获得较高的 NO 转

收稿日期: 2008-10-16

基金项目: 浙江省科技厅资助项目(2007C23034)

* 责任作者, 教授, yfchen@zjut.edu.cn

化率;后者具有较好的低温活性,如 AC 在常温干气下对 NO 氧化有催化作用,但水汽的存在会严重抑制 AC 的催化效果^[10~12].获取既具有低温活性又具有抗水汽性能的 NO 氧化催化剂,成为制约气相催化氧化-液体吸收法工业化的瓶颈.

分子筛在催化、吸附等领域已获得了广泛的应用,通过提高其硅铝比,可改善其表面疏水性^[13].其中,ZSM-5 分子筛的硅铝比变化范围较宽,在 NO_x 脱除工艺中,ZSM-5 分子筛一般用于 NO_x 低温吸附^[14~15]或高温催化还原反应^[16].而对其在 NO 低温氧化反应中的催化和抗水汽性能研究还未见报道.本研究采用高硅 H-ZSM-5 分子筛为 NO 氧化催化剂,研究了硅铝比、水汽含量和温度等主要因素对 NO 氧化的影响,期望在常温、湿气条件下实现 NO 的高效催化氧化.

1 材料与方法

1.1 催化剂制备与表征

分子筛催化剂样品 1 为温州华华集团生产的 H-ZSM-5($\text{SiO}_2/\text{Al}_2\text{O}_3=50$);样品 2 为天津南开催化剂厂生产的 H-ZSM-5($\text{SiO}_2/\text{Al}_2\text{O}_3=140$);样品 3 为上海卓悦化工有限公司生产的 H-ZSM-5 ($\text{SiO}_2/\text{Al}_2\text{O}_3=300$).分别将分子筛原粉在 110℃ 干燥 2h,再于 500℃ 下焙烧 3h,经压片、碾碎、过筛,得到粒径为 0.6~0.9mm(30~20 目)的颗粒状分子筛催化剂.

采用 ASAP2010 型比表面测定仪测定 3 种 H-ZSM-5 分子筛样品的比表面积(S_{BET})及孔径(D_{pore}).

1.2 实验装置

装置由模拟废气系统、氧化反应系统和尾气吸收系统组成(图 1).模拟废气中 NO 用 N₂ 作为载气,O₂ 来源于空气.质量流量计计量 N₂、NO 的流量,以控制 NO 浓度.空气一路通过干燥剂后变成干气,另一路进入饱和增湿装置,为饱和水汽,调节干、湿空气的流量可得到不同湿度的模拟废气.玻璃固定床氧化反应器内径 9mm、长 140mm,外壁缠绕电热带和石棉布以维持反应温度.反应

后的气体用碱液吸收.

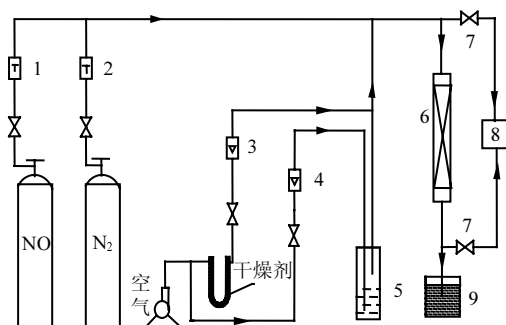


图 1 NO 氧化试验装置

Fig.1 Experimental apparatus for NO oxidation

1,2 质量流量计;3,4 转子流量计;5 增湿器;6 固定床反应器;

7 取样口;8 烟气分析仪;9 碱液吸收槽

1.3 实验方法

实验控制 NO 进口浓度为 0.05%~0.08%;O₂ 含量约 20.7%,与工厂排放的 NO_x 工业废气中 O₂ 含量相当^[1];并载带室温下饱和水汽,气体总流量 1~2L/min;水汽含量折算为反应温度下的相对湿度(RH);反应温度为 10~90℃.反应器装填 H-ZSM-5 分子筛 3.7g,反应开始后,每隔数分钟用 Testo-350XL 型烟气分析仪测定 NO、NO₂、NO_x(NO_x 浓度为 NO 和 NO₂ 浓度之和)进出口浓度.主要目标产物 NO₂ 占 NO_x 总量的百分比即为 NO 氧化率.催化剂活性用稳定阶段出口 NO 氧化率来衡量.空管空白试验结果表明,NO 氧化率小于 4%.

2 结果与讨论

由表 1 可见,硅铝比不同的 3 种分子筛,其比表面积大致相当,保证了分子筛硅铝比的单因素考察条件.

表 1 H-ZSM-5 的比表面积和孔径

Table 1 Specific surface area and pore diameter of H-ZSM-5

样品编号	$\text{SiO}_2/\text{Al}_2\text{O}_3$	$S_{\text{BET}}(\text{m}^2/\text{g})$	$D_{\text{pore}}(\text{nm})$
1	50	384.3	1.873
2	140	352.2	1.971
3	300	358.2	2.072

2.1 H-ZSM-5 上 NO 氧化反应随时间的变化

采用样品 3 作为 NO 氧化催化剂, 考察了干、湿气(水汽含量为 1.18%)条件下, NO 进口浓度约 0.05%、和空时 0.25s 时, 20℃下氧化反应器出口各组分浓度随时间的变化过程(图 2)。

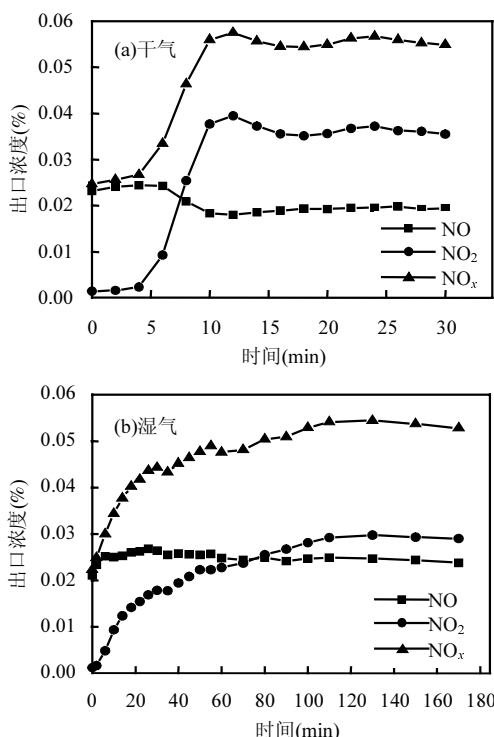


图 2 NO 在 H-ZSM-5 上的氧化反应随时间的变化

Fig.2 Transient profiles of NO oxidation over H-ZSM-5

由图 2(a)可见, 干气条件下, 反应初期, 出口气体中主要是 NO, 而 NO₂ 极少, 且出口 NO_x 浓度远低于进口, 说明在这一阶段出现了明显的吸附行为。反应 5min 后出口气体中 NO₂ 浓度急剧上升, 而 NO 浓度达到峰值后迅速下降, 10min 后两者浓度趋于稳定, 进出口 NO_x 浓度达到平衡。该过程与 NO 在 AC 及 ACF 上的氧化^[10,17-18]极为相似。Mochida 等^[17]对 NO 和 O₂ 在 ACF 上吸附过程的程序升温脱附(TPD)研究结果表明, NO 首先吸附在 ACF 上, 随即氧化成 NO₂, 然后两者共吸附在 ACF 上, 随着时间的增加, NO₂ 占据主要吸附位, 待 NO₂ 吸附饱和后开始解吸, 而 NO₂ 释放空出活性位供 NO 继续吸附并氧化, 导致 NO 出口浓度

下降, 反应最终达到动态平衡。Adapa 等^[18]对 NO 氧化生成 NO₂ 的反应机理提出了进一步的解释, 认为 NO₂ 吸附在 ACF 上可形成 NO₃ 中间体, NO 与 NO₃ 继续反应生成 NO₂。根据 ZSM-5 分子筛和 ACF 对 NO 氧化的相似行为, 上述机理应该也适用于 ZSM-5 分子筛表面吸附-反应行为, 但这种解释的正确性还需程序升温脱附(TPD)或原位漫反射红外光谱(DRIFT)等研究进一步验证。

由图 2(b)可见, 湿气条件下, NO 氧化反应变化趋势与干气下类似, 但 NO₂ 吸附速率明显下降, 穿透时间变长, 且出口 NO₂ 浓度比干气下略低。这可能是水汽的存在促进了水溶性 NO₂ 的吸附, 并与之反应生成 HNO₃, 导致 NO₂ 出口浓度比干气条件下稍有降低。

2.2 硅铝比对 NO 氧化的影响

控制进口 NO 浓度为 0.05%, 空时为 0.25s, 分别通入干气和水汽含量为 1.18% 的湿气, 在 20℃ 下研究了不同硅铝比的 H-ZSM-5 上 NO 氧化反应(图 3)。由图 3 可见, 干气条件下, NO 氧化率几乎不受硅铝比的影响; 湿气条件下, 硅铝比由 50 提高至 300 时, NO 氧化率由 20% 升至 56%, 说明提高分子筛硅铝比有利于湿气下 NO 氧化。

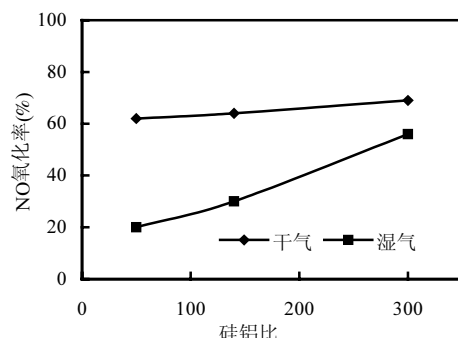


图 3 H-ZSM-5 的硅铝比对 NO 氧化率的影响

Fig.3 Effects of SiO₂/Al₂O₃ ratio of H-ZSM-5 on the NO oxidation degree

为探究其原因, 研究了 H-ZSM-5 对水汽的饱和吸附量。结果显示: 20℃时, 硅铝比为 50, 140, 300 的 H-ZSM-5 对水汽饱和吸附量分别为 7.75, 7.27, 4.95 g/100g, 可见随着硅铝比的提高, 分子筛对水汽的饱和吸附量明显减少, 即分子筛硅

铝比越高,疏水性能越好,高硅 ZSM-5 催化剂有利于 NO 氧化反应.

2.3 反应温度对 NO 氧化的影响

选择样品 3,维持进口 NO 浓度为 0.05%,空时为 0.25s,分别通入干气和水汽含量为 1.18% 的湿气,考察反应温度的影响(图 4).

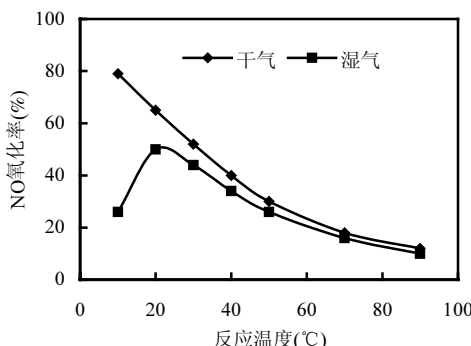


图 4 反应温度对 NO 氧化率的影响

Fig.4 Effects of reaction temperature on NO oxidation degree in dry and wet condition

由图 4 可见,干气下,反应温度升高,NO 氧化率下降,对此有 2 种解释:NO 在低温下与 O₂ 反应的表观活化能为负值^[19],表现出负的温度效应;温度越低越有利于 NO 吸附^[13].

湿气下 NO 氧化率总体上低于干气,但随着反应温度的提高呈现出先增加后减小的变化趋势,最佳反应温度为 20℃.这与 Guo 等^[10]和 Mochida 等^[12]报道的 ACF 上湿气下 NO 氧化随温度变化的趋势一致,但其最佳温度为 70℃,这一差别可归因于分子筛 ZSM-5 比 ACF 具有更好的疏水性.

2.4 水汽含量对 NO 氧化的影响

维持 NO 进口浓度为 0.05%,空时为 0.25s,控制反应温度分别为 10,20,30℃,调配干、湿气流量,以获得不同反应温度下 0~100% 的 RH,研究了水汽含量对 NO 氧化的影响(图 5).

由图 5 可见,同一温度下,随着 RH 的增加,NO 氧化率逐渐下降.提高温度,下降的趋势变得平缓.结合不同温度下分子筛 ZSM-5 对水汽饱和吸附量的变化关系(图 6)可知,温度升高,分子

筛对水汽的吸附量急剧减少,水汽对 NO 氧化率的影响减弱,因此,反应温度越高,NO 氧化率对水汽含量的变化越不敏感.这也进一步解释了图 4 中湿气条件下 NO 氧化率随温度升高先增加后减少的现象,即温度对水汽吸附的影响和 NO 氧化反应负温度效应共同作用的结果.

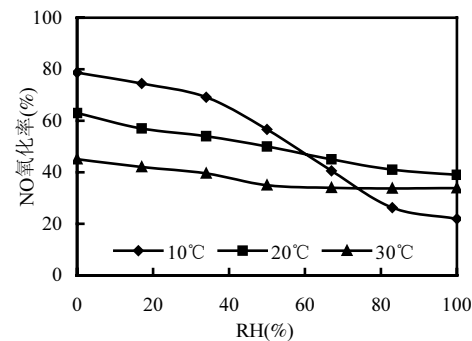


图 5 不同温度下 RH 对 NO 氧化率的影响

Fig.5 Effects of relative humidity on NO oxidation degree at different temperatures

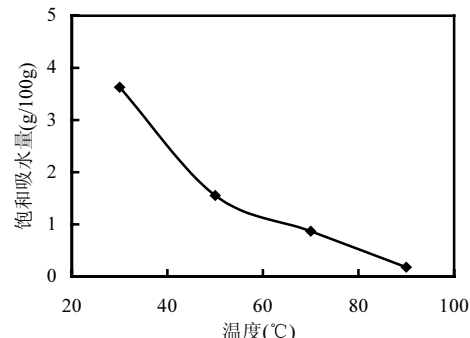


图 6 不同温度下 H-ZSM-5 对水的饱和吸附量

Fig.6 Adsorption of water vapor on H-ZSM-5 at different temperatures

2.5 催化剂的稳定性实验

在 NO 进口浓度为 0.08%、空时为 0.5s,反应温度为 30℃,RH(30℃ 下)为 50% 或 100% 时,考察了 H-ZSM-5 催化剂的稳定性(图 7).

由图 7 可见,前 100h 内,RH 为 50% 时,NO 氧化率可达 60%,反应活性一直保持稳定;后 100h 内,增大水汽含量至 RH 为 100%,相应地,NO 氧化率降至 50%,但 H-ZSM-5 催化剂活性总体保持

稳定。

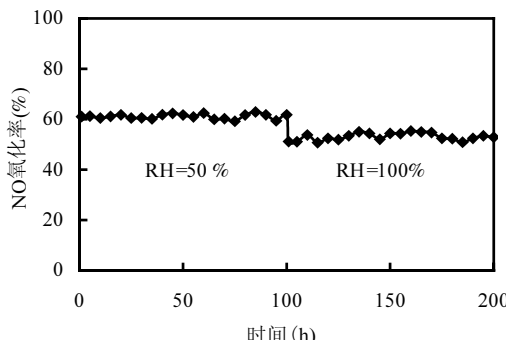


图 7 H-ZSM-5 分子筛催化剂稳定性评价

Fig.7 Stability evaluation of the H-ZSM-5 catalyst

3 结论

3.1 H-ZSM-5 分子筛对 NO 氧化具有良好的催化活性。反应初期会出现明显的吸附过程,待 NO₂

释放出来,反应达到动态平衡。

3.2 在有水汽的情况下,催化剂仍具有较好的活性。提高 H-ZSM-5 分子筛硅铝比,增加其抗水汽性能,有利于 NO 氧化。

3.3 在本实验条件下,干气下,温度越低越有利于 NO 氧化;有水汽存在时,温度越低,NO 氧化受水汽的影响越大,最佳反应温度为 20℃。

3.4 在温度为 30℃ 条件下,NO 进口浓度为 0.08%,空时为 0.5s,相对湿度为 50% 或 100% 时,NO 氧化率分别达到 60% 和 50%,且保持稳定。表明催化剂具有良好的稳定性。

参考文献:

- [1] 袁从慧,刘华彦,卢哈峰,等.催化氧化-还原吸收法脱除工业含湿废气中 NO_x [J]. 环境工程学报, 2008,2(9):1207-1212.
- [2] 任晓莉,张雪梅.碱液吸收法治理含 NO_x 工艺尾气实验研究 [J]. 化学工程, 2006,34(9):63-66.
- [3] 童志权,莫建红.催化氧化法去除烟气中 NO_x 研究进展 [J]. 化工环保, 2007,27(3):193-198.
- [4] Mochida I. Oxidation of NO into NO₂ over active carbon fibers [J]. Energy and Fuels, 1994,(8):1341-1344.
- [5] Shiba K, Hinode H, Wakihara M. Catalytic oxidation of NO to NO₂ over Cr/TiO₂ and Cu/TiO₂ under oxidizing atmosphere [J]. Reaction Kinetics and Catalysis Letters, 1996,58(1):133-137.
- [6] 罗立新,刘敏. NO 催化氧化的初步研究 [J]. 环境工程, 1997, 15(4):30-33.
- [7] 鲁文质,赵秀阁.NO 的催化氧化 [J]. 催化学报, 2002,21(5): 423-427.
- [8] Schmitz P J, Kudla R J, Drews A E. NO oxidation over supported Pt: Impact of precursor, support, loading, and processing conditions evaluated via high throughput experimentation [J]. Applied Catalysis B: Environmental, 2006,67:246-256.
- [9] 赵迎宪,危凤. NO 在 Pt/ γ -Al₂O₃ 上催化氧化反应机理和动力学 [J]. 化工学报, 2008,59(5):1156-1164.
- [10] Guo Z C, Xie Y S. Catalytic oxidation of NO to NO₂ on activated carbon [J]. Energy Conversion and Management, 2001,42:2005-2018.
- [11] Klose W, Rincon S. Adsorption and reaction of NO on activated carbon in the presence of oxygen and water vapor [J]. Fuel, 2007,86:203-209.
- [12] Mochida I, Kawabuchi Y. High catalytic activity of pitch-based activated carbon fibres of moderate surface area for oxidation of NO to NO₂ at room temperature [J]. Fuel, 1997,76(6):543-548.
- [13] 徐如人,庞文琴.分子筛与多孔材料化学 [M]. 北京:北京出版社,2004.
- [14] Perdana I. A comparison of NO_x adsorption on Na, H and Ba-ZSM-5 films [J]. Applied Catalysis B: Environmental, 2007, 72:82-91.
- [15] 陈作义,杨晓西.ZSM-5 分子筛对氮氧化物的吸附特性研究 [J]. 山西化工, 2004,24(3):15-17.
- [16] Shi C, Mo J C. On the correlation between micro structural changes of Ag-H-ZSM-5 catalysts and their catalytic performances in the selective catalytic reduction of NO_x by methane [J]. Journal of Molecular Catalysis A: Chemical, 2005,235:35-43.
- [17] Mochida I, Shirahama N. NO oxidation over activated carbon fiber (ACF). Part 1. Extended kinetics over a pitch based ACF of very large surface area [J]. Fuel, 2000,79:1713-1723.
- [18] Adapa S, Gaur V. Catalytic oxidation of NO by activated carbon fiber (ACF) [J]. Chemical Engineering Journal, 2006,116:25-37.
- [19] 韩德刚,高盘良.北京大学物理化学丛书——化学动力学基础 [M]. 北京:北京大学出版社, 2001.

作者简介: 李玉芳(1983-),女,安徽蚌埠人,浙江工业大学硕士研究生,主要从事 NO 催化氧化及氮氧化物废气处理研究.发表论文 2 篇.